

Ejemplos en Geometría de Poisson Computacional

Pablo Suárez Serrato,
Instituto de Matemáticas UNAM

Sistemas Hamiltonianos: Aplicaciones y Teoría

Diciembre 9, 2021



266

ANALYSE.

MÉMOIRE

Sur la Variation des Constantes arbitraires dans les questions de Mécanique,

Lu à l'Institut le 16 Octobre 1809;

Par M. POISSON.



ANALYSE.

281

constante a ni la constante b ; dans d'autres cas elle ne contiendra aucune constante arbitraire, et se réduira à une constante déterminée; mais, afin de rappeler l'origine de cette quantité, qui représente une certaine combinaison des différences partielles des valeurs de a et b , nous ferons usage de cette notation (b, a) , pour la désigner; de manière que nous aurons généralement

$$\begin{aligned} \frac{db}{ds} \cdot \frac{da}{d\varphi} - \frac{da}{ds} \cdot \frac{db}{d\varphi} + \frac{db}{du} \cdot \frac{da}{d\psi} - \frac{da}{du} \cdot \frac{db}{d\psi} + \frac{db}{dv} \cdot \frac{da}{d\eta} \\ - \frac{da}{dv} \cdot \frac{db}{d\eta} = (b, a). \end{aligned}$$

Sist. Hamiltonianos en $\mathbb{R}^{2n} = \{(q_1, \dots, q_n, p_1, \dots, p_n)\}$

Dado $H \in C_{\mathbb{R}^{2n}}^\infty$:

$$\dot{q}_i = \frac{\partial H}{\partial p_i}, \quad \dot{p}_i = -\frac{\partial H}{\partial q_i}$$

■ Defínase $\{, \} : C_{\mathbb{R}^{2n}}^\infty \times C_{\mathbb{R}^{2n}}^\infty \rightarrow C_{\mathbb{R}^{2n}}^\infty$ por

$$\{f, g\} := \sum_{i=1}^n \frac{\partial f}{\partial p_i} \frac{\partial g}{\partial q_i} - \frac{\partial f}{\partial q_i} \frac{\partial g}{\partial p_i}$$

■ Entonces,

$$\dot{q}_i = \{H, q_i\}, \quad \dot{p}_i = \{H, p_i\}$$

Corchete de Poisson $\{, \} : C_M^\infty \times C_M^\infty \longrightarrow C_M^\infty$

- \mathbb{R} -linealidad.
- Antisimetría: $\{f, g\} = -\{g, h\}$
- Identidad de Jacobi:

$$\{f, \{g, h\}\} = \{\{f, g\}, h\} + \{g, \{f, h\}\}$$

- Regla de Leibniz:

$$\{f, gh\} = g\{f, h\} + h\{f, g\}$$

Ejemplo

En \mathbb{R}_x^3 , dada

$$\psi : \mathbb{R}^3 \rightarrow \mathbb{R}^3, \quad \psi(x) = (\psi_1(x), \psi_2(x), \psi_3(x))^\top$$

■ Se define

$$\{f, g\}_\psi = \langle \psi, \nabla f \times \nabla g \rangle$$

■ *Identidad de Jacobi:*

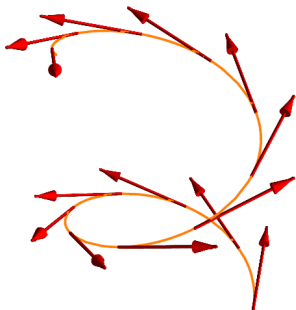
$$\langle \psi, \text{rot } \psi \rangle = 0$$

Nota: $\{f, g\}_\psi = \nabla f^\top \Pi_\psi \nabla g$, donde

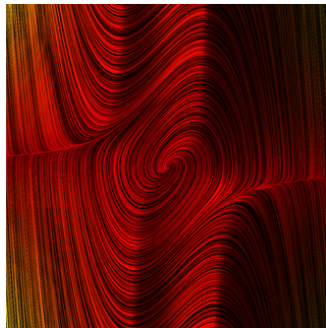
$$\Pi_\psi = \begin{pmatrix} 0 & \psi_3 & -\psi_2 \\ -\psi_3 & 0 & \psi_1 \\ \psi_2 & -\psi_1 & 0 \end{pmatrix}$$

Foliaciones Inducidas por Campos Vectoriales

■ Existencia y Unicidad

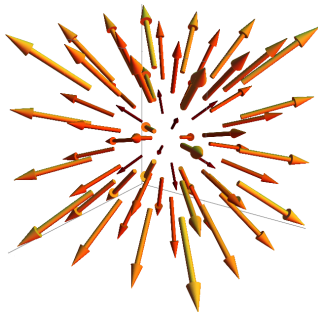


■ Foliación por Curvas Integrales

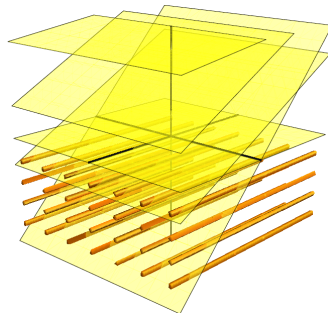


Campos Vectoriales vs Distribuciones

■ Campo Vectorial

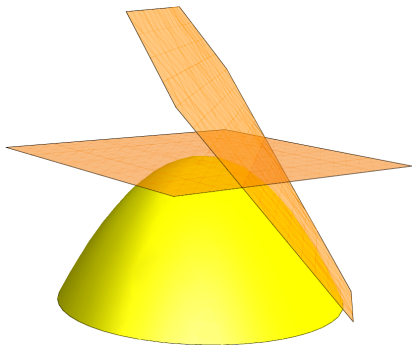


■ Distribución

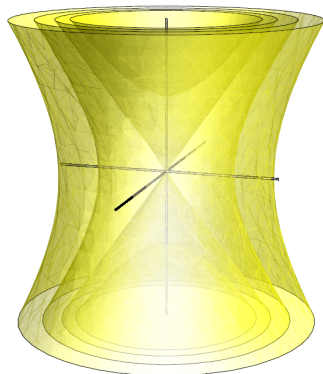


Foliaciones por Distribuciones Singulares

■ Stefan-Sussman



■ Foliación por Variedades Integrales



Estructura de Poisson \leftrightarrow Foliación Simplética

Sea Π tensor de Poisson:

$$D^\Pi := \{ X_f \mid f \in C_M^\infty \},$$

con $X_f(g) = \{f, g\}$.

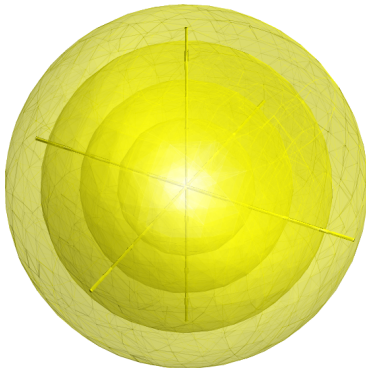
Afirmación:

D^Π es integrable.



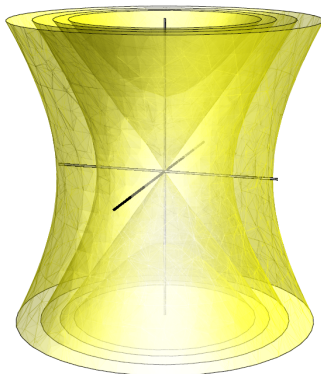
Foliación simplética.

Ejemplo : $\mathfrak{so}(3)$



$$\begin{aligned} \blacksquare \psi_1 &= x_1, & \psi_2 &= x_2, & \psi_3 &= x_3 \\ \blacksquare \Pi_\psi &= \begin{pmatrix} 0 & x_3 & -x_2 \\ -x_3 & 0 & x_1 \\ x_2 & -x_1 & 0 \end{pmatrix}, & \{f, g\}_\psi &= \langle \psi, \nabla f \times \nabla g \rangle \end{aligned}$$

Ejemplo : $\mathfrak{sl}(2)$



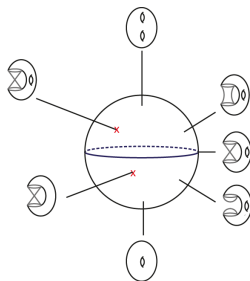
$$\begin{aligned} \blacksquare \psi_1 &= x_1, & \psi_2 &= x_2, & \psi_3 &= -x_3 \\ \blacksquare \Pi_\psi &= \begin{pmatrix} 0 & -x_3 & -x_2 \\ x_3 & 0 & x_1 \\ x_2 & -x_1 & 0 \end{pmatrix}, & \{f, g\}_\psi &= \langle \psi, \nabla f \times \nabla g \rangle \end{aligned}$$

Ejemplos, 2D, 3D

- 2D: Toda superficie cerrada y orientable es simpléctica, por tanto de Poisson.
- 3D: Toda 3-variedad cerrada y orientable admite una foliación por superficies (Likorish, Novikov, Zieschang), una estructura de Poisson regular (Ibort-Torres) y una estructura de Poisson con singularidades Bott-Morse, conjunto singular círculos y puntos (Evangelista-TorresOrozco-S.-Vera).

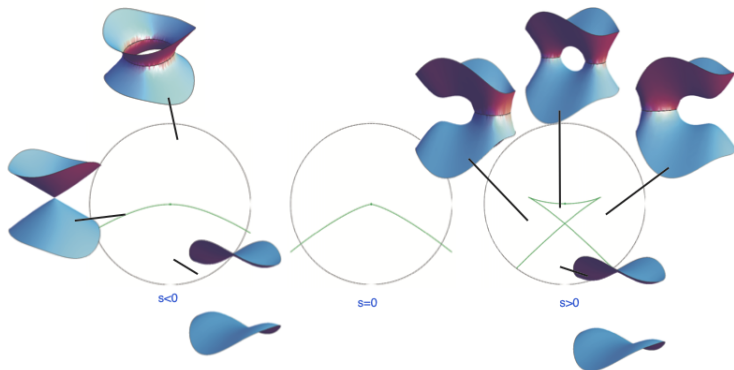
Ejemplos, 4D

- 4D: Toda 4-variedad lisa cerrada y orientable admite una estructura de Poisson de rango genérico 2 con singularidades de Lefschetz quebradas (GarcíaNaranjo-S.-Vera)



Ejemplos, 4D

- 4D: Toda 4-variedad lisa cerrada y orientable admite una estructura de Poisson de rango genérico 2 con singularidades de corrugadas (S.-TorresOrozco).



Estructuras de Poisson

- Sistema Hamiltoniano:

$$\dot{x} = \{H, x\}, \quad x \in \mathbb{R}^n$$

- Campo Hamiltoniano:

$$X_h = \mathbf{i}_{dh}\Pi$$

- Campo de Poisson:

$$\mathcal{L}_Z\Pi = 0.$$

Campo Modular

- (M, Π, Ω) variedad de Poisson Orientable:

$$\mathcal{L}_X \Omega = \operatorname{div}_\Omega X \cdot \Omega$$

- Campo Modular:

$$Z := h \longmapsto \operatorname{div}_\Omega X_h$$

$$\Downarrow$$

$$\mathcal{L}_Z \Pi = 0 \quad \text{y} \quad Z^f \Omega = Z^\Omega - X_{\ln|f|}$$

Definición

Una variedad de Poisson orientable (M, Π) se dice unimodular si admite una forma de volumen invariante bajo el flujo de todo campo Hamiltoniano.

Bibliografía

- *Poisson structures on smooth 4-manifolds*, García-Naranjo, S., Vera, Lett. Math. Physics, 105, No.11, (2015) 1533–550.
- *Poisson structures on wrinkled fibrations*, Torres Orozco, S., Bull. Mexican Math. Soc., 22, No.1 (2016), 263–280.
- *On Bott-Morse Foliations and their Poisson Structures in Dimension 3*, Evangelista- Alvarado, S., Torres Orozco, Vera, Jour. of Singularities, 19 (2019), 19–33.
- *On Computational Poisson Geometry I: Symbolic Foundations*, Evangelista-Alvarado, Ruíz-Pantaleón, S., Jour. Geometric Mechanics 13(4), (2021) 607–628.
- *On Computational Poisson Geometry II: Numerical Methods*, Evangelista-Alvarado, Ruíz-Pantaleón, S., Jour. Computational Dynamics 8(3) (2021) 273–307.